

自回归模型的最优定阶及其 在长期预报中的应用

胡基福 姜宏川

(青岛海洋大学海洋气象系, 青岛 266003)

周庆满 洪光

(青岛市气象局, 青岛 266003)

提 要

对自回归模型的5种定阶方法(FPE 、 AIC 、 BIC 、 L_1 和 L_2 准则)作了概述, 并应用上述方法对青岛月平均温度序列进行了自回归模型定阶试验。结果指出, FPE 、 AIC 和 L_1 准则选择自回归模型的阶数较高, L_2 准则选择自回归的阶数为中等, BIC 准则确定的阶数最低。文章还提出了一个应用自回归模型递推预报月平均温度的方法, 预报实践证明, 由 BIC 准则产生的低阶自回归模型的效果优于其它方法。

关键词:自回归模型; 最优定阶; 递推预报; 月平均温度。

1 引言

在时间序列的分析与预报中, 最广泛运用的线性回归模型是自回归模型, 称为 $AR(p)$ 模型。 p 是自回归模型的阶数, 阶数过低, 容易漏掉当前项与前期各项相关的信息, 影响模型的精度; 阶数过高, 模型的精度固然能提高, 但是计算量大, 而且会增加模型的不稳定性。因此, 在建立自回归模型时, 确定模型的适当阶数是十分重要的。这也是一个较难解决的理论问题与实践问题。早在1969年, Akaike首先提出了“最终预报误差”的定阶方法, 称为 FPE 准则^[1]。1974年他又提出了一种“信息定阶准则”, 称为 AIC 准则^[2]。Schwarz(1978年)提出了“贝叶斯定阶准则”, 称为 BIC 准则^[3]。80年代Carr又发展了两种新的定阶标准, 称为 L_1 和 L_2 准则^[4,5]。这两种方法不仅可用于选择自回归的阶数, 而且可用于确定多元线性回归方程中预报因子的最优个数。上述方法已广泛应用于 $AR(p)$ 、 $MA(q)$ 和 $ARMA(p,q)$ 等线性模型的建模中^[6-9]。但是, 究竟哪种方法确定的阶数最适当, 而且预报效果好?至今尚无人系统地试验过。为了解决这个问题, 本文利用上述的定阶方法对青岛92年(1898—1989年)的月平均气温序列进行了自回归模拟定阶试验。根据最优定阶结果建立自回归预报方程, 分别递推预报了1990年和1991年1—12月的平均气温, 并与实况作了比较。最后, 对五种方法的定阶结果进行了讨论。

2 几种最优定阶方法

设时间序列 $x_1, x_2 \dots x_n$ 为零均值平稳时间序列, 则在 t 时刻的值 x_t 依前 p 项 $x_{t-1}, x_{t-2} \dots x_{t-p}$ 的 $AR(p)$ 模型应为

$$x_t = \varphi_1 x_{t-1} + \varphi_2 x_{t-2} + \dots + \varphi_p x_{t-p} + a_t \quad (1)$$

式中 a_t 是一组均值为零、方差为 σ^2 的正态随机变量, 称为白噪声. $\varphi_1, \varphi_2 \dots \varphi_p$ 称为 $AR(p)$ 模型的自回归系数. 如何确定 $AR(p)$ 模型的最优阶数 p 是建模中首先要解决的问题. 目前国内外常用的最优定阶方法有五种:

(1) FPE 定阶准则

$$FPE(k) = \frac{n+k+1}{n(n-k-1)} \sum_{t=1}^n (x_t - \hat{x}_t(k))^2 \quad (2)$$

或写成

$$FPE(k) = \frac{n+k+1}{n-k-1} \sigma^2(k) \quad (3)$$

式中

$$\sigma^2(k) = \frac{1}{n} \sum_{t=1}^n (x_t - \hat{x}_t(k))^2 \quad (k = 1, 2, \dots, m) \quad (4)$$

其中 n 为时间序列的总长度, k 为试验阶数, m 为最大后延相关长度(一般 $m = n/4 - n/10$), $\sigma^2(k)$ 为 k 阶自回归模型的剩余方差, $\hat{x}_t(k)$ 为 k 阶自回归对 x_t 的估计值. FPE 的意义是, 当把确定的自回归模型应用到该序列的一个独立现实时, 其预报误差的期望值称为“最终预报误差”. 从式(2)中知道, $\sigma^2(k)$ 将随 k 的增大而减小, 同时 $(n+k)/(n-k)$ 又将随 k 的增大而增大, 当 k 增大到超过某一值(p)后, $\sigma^2(k)$ 值开始缓慢减小, 这时 $(n+k)/(n-k)$ 对 FPE 增大起主要作用, 此时的 p 值便可确定为最优阶数. 在实际计算中, 应使 $FPE(k)$ 满足最小值的原则, 即

$$FPE(p) = \min \{FPE(k)\} \quad (1 \leq k \leq m) \quad (5)$$

此时, $p = k$ 便可确定为自回归模型的最优阶数.

(2) AIC 定阶准则

$$AIC(k) = \ln \sigma^2(k) + 2k/n \quad (k = 1, 2, \dots, m) \quad (6)$$

AIC 中符号的意义与 FPE 相同.

(3) BIC 定阶准则

$$BIC(k) = n \ln \hat{\sigma}^2(k) + (k+1) \ln n \quad (7)$$

式中

$$\hat{\sigma}^2(k) = \frac{1}{n-k-1} \sum_{t=1}^n (x_t - \hat{x}_t(k))^2 = \frac{n}{n-k-1} \sigma^2(k) \quad (8)$$

$$(k = 1, 2, \dots, m)$$

式(7)右端第一项是对 $AR(k)$ 模型拟合程度的度量. 第 2 项是对需估计的 $(k+1)$ 个参数 $(\mu, \varphi_1, \varphi_2, \dots, \varphi_k)$ 起限制作用, 以控制其选择的阶数不要过高(μ 为时间序列的数学期望).

(4) L_1 定阶准则

$$L_1(k) = \frac{n-1}{(n-k-1)(n-k-2)} \sum_{i=1}^n (x_i - \hat{x}_i(k))^2 \quad (9)$$

或写成

$$L_1(k) = \frac{n(n-1)}{(n-k-1)(n-k-2)} \sigma^2(k) \quad (k=1,2,\dots,m) \quad (10)$$

(5) L_2 定阶准则

$$L_2(k) = \frac{n(n-1)}{(n-k-1)^2(n-k-2)} \sum_{t=1}^n (x_t - \hat{x}_t(k))^2 \quad (11)$$

或写成

$$L_2(k) = \frac{n^2(n-1)}{(n-k-1)^2(n-k-2)}\sigma^2(k) \quad (k=1,2,\dots,m) \quad (12)$$

L_1 与 L_2 间的主要区别是, L_1 用有偏估计公式 $\frac{1}{n} \sum_{i=1}^n (x_i - \hat{x}_i(k))^2$, 而 L_2 则使用无偏估计公式

$\frac{1}{n-k-1} \sum_{t=1}^n (x_t - \hat{x}_t(k))^2$. 但是, 当 $\frac{k}{n}$ 很小时, L_1 可简化为 $\frac{n}{(n-k-1)} \sum_{t=1}^n (x_t - \hat{x}_t(k))^2$, 而 L_2 则可简化为 $\frac{n^2}{(n-k-1)^3} \sum_{t=1}^n (x_t - \hat{x}_t(k))^2$. 这时, L_1 与 L_2 可视为相似^[5].

AIC , BIC , L_0 和 L_∞ 准则确定最优阶数的原则,也是满足式(5)最小值的原则.

3 定阶试验结果与讨论

采用上述方法,对青岛 92 年逐月平均气温序列($n = 12 \times 92 = 1104$)进行自回归模型定阶试验。由于原时间序列有年变化,影响序列的平稳性。因此,在进行定阶试验之前先对序列进行差分处理和标准化处理,然后分别对差分和标准化两序列,在最大后延相关长度 $m = 100, 150, 200$ (月)的情况下进行定阶试验,两种序列的定阶结果列于表 1。

表 1 5 种准则的定阶结果

处理方法	后延长度	阶数 (p)				
		FPE	AIC	BIC	L_1	L_2
差分法	100	86	86	25	86	72
	150	86	86	25	86	72
	200	169	169	25	86	72
标准化	100	5	5	3	5	5
	150	5	5	3	5	5
	200	5	5	3	5	5

表2 各目序列的定阶结果($m=30$)

由表1可见,对于同一资料用两种不同处理方法所得到的时间序列,其自回归模拟的定阶结果是不同的。差分序列所确定的阶数明显地高于标准化序列。这表明标准化序列不仅能消除年循环变化,而且能削弱序列的长周期振动。但是差分序列仅能消除年循环变化,而对序列的长周期振动却不能起到削弱的作用。因此,差分序列的相关函数的滞后长度明显地比标准化序列长,差分序列自回归模型的阶数必然明显高于标准化的阶数。但是,两种序列都以BIC准则选择的阶数最低。同时BIC确定的阶数不随 m 的增大而变化,其最优阶数始终集中在一个阶数上,这与Hannan(1980年)的试验结果是一致的^[9]。此外,还可以看出,对于差分序列, FPE 、 AIC 和 L_1 的定阶结果基本上是相同的。而对于标准化序列,除BIC以外,其它四种方法的定阶结果完全相同。

为了进一步比较,我们又把月平均温度序列按同月逐年排列(以下称为各月序列),组成长度均为 $n=92$ (月)的12个时间序列。由于这些序列没有固有的周期变化,因此,可视为近似平稳序列。当 $m=30$ (月)时,5种方法所得到的定阶结果列于表2。可见,对于各月序列5种方法的定阶结果,除2月和4月的 FPE 、 AIC 和 L_1 以外,其余月份的阶数都是1阶,这反映了 FPE 、 AIC 和 L_1 3种方法的一致性。大部分月份是1阶自回归模型,这说明各月序列是遵从马尔柯夫链过程,即今年仅与去年有关,而与前年无关。

4 预报试验

本文的目的是选择适当的阶数和最佳拟合时间序列,而且能用于预报。下面将采用这些定阶结果,建立自回归预报方程,并进行预报检验。

在实际长期预报中,往往希望能一次作出未来多时刻的预报。我们采用自回归模型的递推预报方法来达到这个目的。递推预报方程可写成

$$\left. \begin{aligned} \hat{x}_{t+1} &= \varphi_1 x_t + \varphi_2 x_{t-1} + \cdots + \varphi_p x_{t-p+1} \\ \hat{x}_{t+2} &= \varphi_1 \hat{x}_{t+1} + \varphi_2 x_t + \cdots + \varphi_p x_{t-p+2} \\ \cdot & \quad \cdot \quad \cdot \quad \cdot \quad \cdot \\ \cdot & \quad \cdot \quad \cdot \quad \cdot \quad \cdot \\ \cdot & \quad \cdot \quad \cdot \quad \cdot \quad \cdot \\ \hat{x}_{t+s} &= \varphi_1 \hat{x}_{t+s-1} + \varphi_2 x_{t+s-2} + \cdots + \varphi_p x_{t+s-p} \end{aligned} \right\} \quad (s < p) \quad (13)$$

\hat{x}_{t+g} 表示 x_{t+g} 的递推预报值($g=1, 2, \dots, s$), s 为递推预报的最大项数(这里 $s=12$ 个月)。由式(13)可知,递推预报值 \hat{x}_{t+g} 仅与 $(t+g)$ 时刻以前 p 个时刻的值有关。因此,当阶数 p 确定后,在递推预报过程中,自回归系数 $\varphi_1, \varphi_2, \dots, \varphi_p$ 是不变的,这是 $AR(p)$ 模型递推预报的特点。为了能一次作出1—12月的预报,必须满足 $s < p$,才能保证递推预报的精度。

由于差分序列选择的阶数较标准化序列高,因此我们可利用差分序列进行自回归模拟和预报。给定最大后延相关长度 $m=150$ (月),采用上述5种方法分别对青岛1898—1989年和1898—1990年月平均气温的差分序列进行了定阶建模,并分别递推预报了1990年和1991年1—12月的平均气温,表3给出模拟定阶结果与预报结果。由表3可见,每个序列都有高、中、低3个阶数。1898—1989年差分序列的自回归模拟结果,3个阶数分别为86、72、和25。因此用 $AR(86)$ 、 $AR(72)$ 和 $AR(25)$ 3种自回归模型递推预报了1990年1—12月气温,预报与实况的距平符号绝大部分是一致的。3种模型的预报结果

表 3 青岛各月平均气温自回归模型预报结果(距平, 单位: $^{\circ}\text{C}$)

年份	定阶准则	阶数													平均距平	预报与实况误差		
			1	2	3	4	5	6	7	8	9	10	11	12				
1990	BIC	实况	-0.39	1.50	2.32	0.48	-0.05	0.28	0.50	0.85	0.59	1.04	2.85	1.20	1.00			
		25	预报	1.17	1.26	0.57	0.43	0.36	-0.02	0.04	0.09	0.42	0.99	-0.26	1.00	0.55	0.45	
		L_2	72	预报	0.71	0.43	0.32	0.21	0.41	-0.06	-0.07	0.31	0.37	0.48	0.29	0.36	0.33	0.67
		AIC	86	预报	0.66	0.43	0.33	0.07	0.64	-0.18	0.18	0.25	0.08	0.64	0.25	0.34	0.34	0.66
1991	FPE	实况	1.63	1.38	0.30	0.18	-0.25	0.37	0.40	-0.06	0.59	0.33	0.62	0.78	0.62			
		25	预报	1.15	1.43	1.87	1.45	0.43	0.21	0.43	0.12	0.59	0.49	0.94	0.95	0.84	0.22	
		L_2	85	预报	1.23	0.72	0.47	0.71	-0.02	-0.13	0.25	-0.18	0.29	0.19	0.89	0.53	0.47	0.15
		AIC	133	预报	0.51	0.59	0.45	0.37	0.32	0.03	0.83	-0.38	0.11	0.13	0.71	0.48	0.43	0.19
L_1		实况	0.51	0.59	0.45	0.37	0.32	0.03	0.83	-0.38	0.11	0.13	0.71	0.48	0.43	0.19		

注: 平均距平、预报与实况误差均为绝对值.

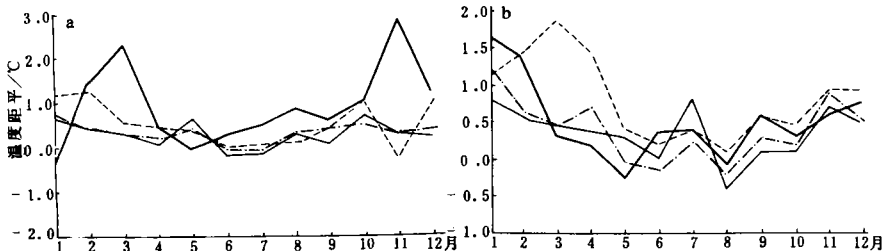


图 1 1990 年月平均温度距平预报与实况比较(粗实线: 实况, 虚线: $AR(25)$ 模型预报距平, 点划线: $AR(72)$ 模型的预报距平, 细实线: $AR(86)$ 模型预报距平)

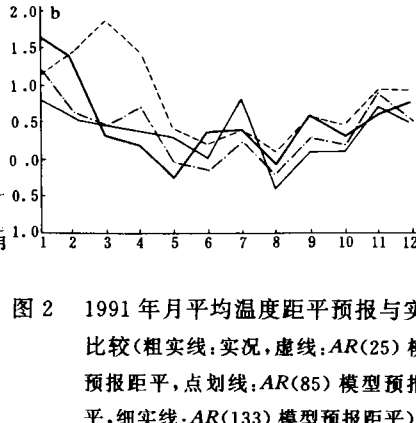


图 2 1991 年月平均温度距平预报与实况比较(粗实线: 实况, 虚线: $AR(25)$ 模型预报距平, 点划线: $AR(85)$ 模型预报距平, 细实线: $AR(133)$ 模型预报距平)

与实况之间的平均距平(绝对值, 下同)误差分别为 0.66°C , 0.67°C 和 0.45°C . 1898—1990 年序列的高、中、低阶数分别为 133, 85, 和 25. 用 $AR(133)$ 、 $AR(85)$ 和 $AR(25)$ 模型对 1991 年 1—12 月气温的预报与实况比较, 平均距平误差分别为 0.19°C 、 0.15°C 和 0.22°C . 比较二年的高、中、低阶模型的预报与实况, 平均距平误差分别为 0.43°C 、 0.41°C 和 0.34°C , 都小于 0.5°C . 3 种模型预报结果比较以 BIC 准则确定的低阶自回归模型精度较高, 这说明自回归阶数高, 预报精度并不一定高.

为了比较预报与实况的年度趋势, 根据表 3 资料, 绘制了 1990 年与 1991 年 1—12 月的预报与实况年变化曲线(图 1 与图 2). 由图可见, 二年的预报与实况(气温距平)基本一致. 但是, 应该注意到 1990 年的 3 月与 11 月的预报与实况差异较大, 3 月平均气温实况正距平高达 2.32°C , 11 月平均气温实况正距平高达 2.85°C . 实际上, 1990 年青岛出现了明显的暖春和暖秋现象. 这说明过渡季节容易产生气温异常现象, 像这样的气温异常便破坏了月平均气温序列的平稳性, 因此预报效果较差. 由于回归方程只能预报平均情况, 不能预报极值的出现, 这是回归方程的弊病. 所以, 对于过渡季节月平均气温的预报, 还须在了解它们的概率分布特征的情况下, 进一步研究其异常变化规律, 然后在自回归预报的基

基础上加以订正,方能作出较正确的预报.

5 结语

应用5种自回归最优定阶准则模拟青岛月平均气温序列,并进行预报试验,得出如下结果:

(1)同一资料不同的预处理方法,5种定阶准则的定阶结果显著不同.差分序列自回归的最优阶数明显地高于标准化序列和各月序列.

(2) FPE , AIC 和 L_1 准则是选择高阶数的自回归模型, L_2 准则是选择中等阶数的自回归模型, BIC 准则是选择低阶数的自回归模型.同一序列,其阶数不随最大后延相关长度 m 的变化而改变.

(3)利用高、中、低阶3种自回归模型,对青岛月平均气温的试报结果表明,预报与实况平均距平误差均小于 0.5°C ,由 BIC 准则所确定的低阶自回归模型的精度优于其它方法.

参 考 文 献

- 1 Akaike H. Fitting autoregressive models for prediction. *Ann. Inst. Stat. Math.*, 1969, **21**: 243—247.
- 2 Akaike H. A new look at the statistical model identification. *IEEE Trans. Auto. Control*, 1974, AC-19: 716—723.
- 3 Schwarz G. Estimating the dimension of a model. *Ann. Statistics*, 1978, **6**: 461—464.
- 4 Carr M. B. On determining the number of predictions in a regression equation used for prediction. Cooperative Thesis No. 59, Florida State University and National Center for Atmospheric Research. 1980, 261pp.
- 5 Carr M. B. Determining the order of an autoregressive model. Preprints, 7th Conf. Probability and statistics in Atmospheric Sciences, Monterey Amer. Meteor. Soc., 1981, 174—176.
- 6 Richard W. K. Statistical evaluation of climate experiments with General Circulation Models: A parameteric time series modeling approach. *J. Atmos. Sci.*, 1982, **39**: 1446—1455.
- 7 Barbara G. B. Time series models to simulate and forecast wind speed and wind power. *J. Cli. and App. Meteor.*, 1984, **23**: 1184—1195.
- 8 C. S. Yao. Fitting a linear autoregressive model for long-range forecasting. *Mon. Wea. Rev.*, 1983, **111**: 692—700.
- 9 Hannan E. J. The estimation of the order of an ARMA process. *Ann. Statistics*, 1980, **8**: 1071—1081.
- 10 Carr M. B. Determining the optimum number of predictions for a linear prediction equation. *Mon. Wea. Rev.*, 1988, **116**: 1623—1640.

DETERMINING OPTIMUM ORDER OF AUTOREGRESSIVE MODEL AND THE APPLICATION TO LONG-RANGE FORECAST

Hu Jifu Jiang Hongchuan

(Qingdao Ocean University, Qingdao 266003)

Zhou Qingman Hong Guang

(Qingdao Meteorological Bureau, Qingdao 266003)

Abstract

The methods of determining the optimum order of autoregressive (*AR*) models, such as *FPE*, *AIC*, *BIC*, L_1 and L_2 were summarized and tested by using the monthly mean temperature data in Qingdao. The selected orders of the *AR* model by use of the *FPE*, *AIC* and L_1 criteria are the highest, medium by L_2 and the lowest by *BIC*, respectively. Additionally, a recurrence method of *AR* model was suggested to forecast the monthly mean temperatures in Qingdao. It has been proved by the forecast practice that the low order *AR* model from the *BIC* criterion is more efficient.

Key words: Autoregressive model; Determining the optimum order; Recurrence forecast; Monthly mean temperature.